

载流长直螺线管和螺绕环的磁场对称性分析

余仕成,周金华

(武汉工程大学理学院,湖北 武汉 430074)

摘要:根据电流的对称性,选取对称的两个圆电流,并在两个圆电流上选取对称的两个电流元,利用毕奥-萨伐尔定律和磁场叠加原理证明了载流长直螺线管的磁场方向平行于管轴以及载流螺绕环的磁场方向沿过场点的同轴圆的切线方向.

关键词:长直螺线管;螺绕环;磁场方向;对称性

中图分类号:O433

文献标识码:A

doi:10.3969/j.issn.1674-2869.2010.05.029

0 引言

在很多应用问题中会涉及到磁场分布^[1],而均匀密绕的载流长直螺线管和螺绕环的磁场分布既是技术应用中常见的磁场分布,又是大学物理中磁场理论的典型问题.在一般大学物理教材^[2-5]中,都是根据磁场分布的对称性利用磁场的安培环路定理来求解,而在有关对称性的讨论中,其方向对称性都没有给出严格的证明,本文利用毕奥-萨伐尔定律和磁场叠加原理对载流长直螺线管的磁场方向对称性和载流螺绕环的磁场方向对称性进行了分析与证明.

1 载流长直螺线管的磁场方向

长直螺线管是一个理想模型,其长度当作无限长,通电导线是均匀密绕的.在理论分析时可看作是有很多的圆电流所构成的.因为电流具有轴对称,所以,磁场方向也具有对称性:螺线管内任意点的磁场方向都与管轴平行.

如图1所示,任取一点P,到轴线的距离为r.建立直角坐标系,z轴沿螺线管的中心轴线,y轴过

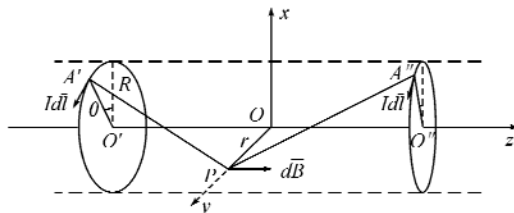


图1 载流长直螺线管的磁场方向

Fig. 1 The magnetic field direction of the carrying current long straight solenoid

P点,则P点坐标为P(0,r,0).取两个圆电流O'和O'',它们到O点的距离都为z;在圆电流O'和O''的对应位置A'和A''处各取一相同的电流元Idl,I是圆电流的强度.A'和A''的坐标可表示为A'(Rcosθ,Rsinθ,-z)和A''(Rcosθ,Rsinθ,z),而Idl=Idl(-sinθi+cosθj).根据毕奥-萨伐尔定律,A'处的电流元Idl在P点产生的磁感应强度为

$$dB_1 = \frac{\mu_0 Idl \times r'}{4\pi r'^3} \quad (1)$$

其中 μ_0 为真空磁导率, $r' = -R\cos\theta i + (r - R\sin\theta)j + zk$ 为由A'指向P的矢量, r' 为A'点到P点的距离.而A''处的电流元Idl在P点产生的磁感应强度为

$$dB_2 = \frac{\mu_0 Idl \times r''}{4\pi r''^3} \quad (2)$$

其中 $r'' = -R\cos\theta i + (r - R\sin\theta)j - zk$ 为由A''指向P的矢量, r'' 为A''点到P点的距离,且 $r'' = r'$.由磁场的叠加原理,可得两电流元在P处产生的磁感应强度为

$$dB = dB_1 + dB_2 = \frac{\mu_0 Idl \times (r' + r'')}{4\pi r'^3} \quad (3)$$

$$\text{而 } r' + r'' = -2R\cos\theta i + 2(r - R\sin\theta)j$$

$$Idl \times (r' + r'') =$$

$$\begin{vmatrix} i & j & k \\ -Idl\sin\theta & Idl\cos\theta & 0 \\ -2R\cos\theta & 2(r - R\sin\theta) & 0 \end{vmatrix} = 2Idl(R - rsin\theta)k$$

代入(3)式得

$$dB = \frac{\mu_0 Idl \times (r' + r'')}{4\pi r'^3} = \frac{\mu_0 Idl}{2\pi r'^3}(R - rsin\theta)k \quad (4)$$

即dB的方向沿螺线管的轴线方向.对于长直

螺线管来说,圆电流是成对的,电流元也是成对的,所以P处的磁场方向必平行于螺线管的轴线方向.

2 载流螺绕环的磁场方向

均匀密绕的螺绕环的结构如图2所示,也可看作是有很多的圆电流所构成的.设螺绕环的中心轴线圆的半径为R,环管截面圆的半径(即圆电流的半径)为r.如图3所示,建立直角坐标系,坐标原点O在螺绕环的几何对称中心点,z轴竖直向上;任取一P点,使xoz平面通过P点(P点即可以在环管内部,也可以在环管外部),设P点坐标为P(x,0,z).任取两个关于xoz平面对称的圆电流O₁和O₂,其圆平面与xoz平面的夹角都为θ;作P点与圆O₁和O₂的垂线,垂直线与O₁和O₂圆平面的交点分别为P₁和P₂,设直线O₁P₁与直线OO₁的夹角为α,则直线O₂P₂与直线OO₂的夹角也为α;在圆电流O₁、O₂的对应位置A₁、A₂分别取大小相等的电流元Idl₁、Idl₂,半径O₁A₁与O₁P₁的夹角为φ,半径O₂A₂与O₂P₂的夹角也为φ.A₁、A₂的位置坐标分别为A₁(x₁, -y₁, z₁)、A₂(x₁, y₁, z₁),其中x₁=(R+r cos(α+φ))cosθ, y₁=(R+r cos(α+φ))sinθ, z₁=r sin(α+φ);电流元Idl₁、Idl₂分别表示为Idl₁=a₁*i*+b₁*j*+c₁*k*,Idl₂=a₁*i*-b₁*j*+c₁*k*,其中a₁=-Idl sin(α+φ)×cosθ,b₁=-Idl sin(α+φ)sinθ,c₁=Idl cos(α+φ).根据毕奥-萨伐尔定律,电流元Idl₁在P点产生的磁感应强度为

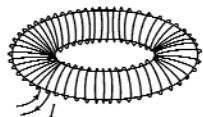


图2 螺绕环

Fig. 2 Endless solenoid

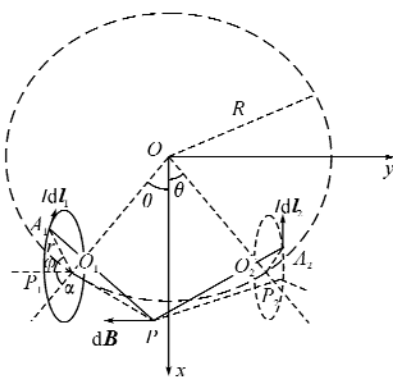


图3 载流螺绕环的磁场方向

Fig. 3 The magnetic field direction of the carrying current endless solenoid

$$dB_1 = \frac{\mu_0}{4\pi} \frac{Idl_1 \times r_1}{r_1^3} \quad (5)$$

其中*r*₁=a₂*i*+b₂*j*+c₂*k*为由A₁指向P的矢量,*r*₁为A₁点到P点的距离,而a₂=x-x₁、b₂=y₁、c₂=z-z₁.而电流元Idl₂在P点产生的磁感应强度为

$$dB_2 = \frac{\mu_0}{4\pi} \frac{Idl_2 \times r_2}{r_2^3} \quad (6)$$

其中*r*₂=a₂*i*-b₂*j*+c₂*k*为由A₂指向P的矢量,*r*₂为A₂点到P点的距离,且*r*₂=*r*₁.由磁场的叠加原理,可得两电流元Idl₁和Idl₂在P点产生的磁感应强度为

$$dB = dB_1 + dB_2 = \frac{\mu_0 I (dl_1 \times r_1 + dl_2 \times r_2)}{4\pi r_1^3} \quad (7)$$

而

$$\begin{aligned} Idl_1 \times r_1 &= \begin{vmatrix} i & j & k \\ a_1 & b_1 & c_1 \\ a_2 & b_2 & c_2 \end{vmatrix} = (b_1 c_2 - b_2 c_1) i - \\ &\quad (a_1 c_2 - a_2 c_1) j + (a_1 b_2 - a_2 b_1) k \\ Idl_2 \times r_2 &= \begin{vmatrix} i & j & k \\ a_1 & -b_1 & c_1 \\ a_2 & -b_2 & c_2 \end{vmatrix} = - (b_1 c_2 - b_2 c_1) i - \\ &\quad (a_1 c_2 - a_2 c_1) j - (a_1 b_2 - a_2 b_1) k \\ \text{则 } Idl_1 \times r_1 + Idl_2 \times r_2 &= -2(a_1 c_2 - a_2 c_1) j \end{aligned}$$

将上式代入(7)式得

$$\begin{aligned} dB &= \frac{\mu_0 I (dl_1 \times r_1 + dl_2 \times r_2)}{4\pi r_1^3} = \\ &\quad - \frac{\mu_0}{2\pi r_1^3} (a_1 c_2 - a_2 c_1) j \end{aligned} \quad (8)$$

由于螺绕环结构的对称性,上述电流元和圆电流都是成对出现的,所以P的磁场方向沿着通过P点的圆(圆心在z轴上且圆平面与轴垂直)的切线方向.

参考文献:

- [1] 余仕成.一个电磁感应演示实验的分析与计算[J].武汉工程大学学报,2007,29(2):94-96.
- [2] 吴锡珑.大学物理教程(第二册)[M].北京:高等教育出版社,1999:258-259.
- [3] 黄祝明,吴锋.大学物理学(上册)[M].北京:化学工业出版社,2008:214-214.
- [4] 程守洙,江之永.普通物理学(第二册)[M].北京:高等教育出版社,1998:231-232.
- [5] 张三慧.电磁学[M].北京:清华大学出版社,1999:261-262.

(下转第110页)

$E\xi_1(1) = 1$, $E\xi_1(2) = 0.992$, $E\xi_1(3) = 0.958$,
 $E\xi_1(4) = 0.924$, $E\xi_1(5) = 0.72$, $E\xi_1(6) = 0.426$;
 $E\xi_2(1) = 1$, $E\xi_2(2) = 0.997$, $E\xi_2(3) = 0.852$,
 $E\xi_2(4) = 0.823$, $E\xi_2(5) = 0.631$, $E\xi_2(6) = 0.344$;
 $E\xi_3(1) = 1$, $E\xi_3(2) = 0.989$, $E\xi_3(3) = 0.827$,
 $E\xi_3(4) = 0.779$, $E\xi_3(5) = 0.593$, $E\xi_3(6) = 0.333$.
 $x_i (i=1,2,3)$ 对 x_0 的指数型关联度分别为
 $Er_1 = 0.837$, $Er_2 = 0.774$,
 $Er_3 = 0.754$, $Er_1 > Er_2 > Er_3$.

4 结语

指数型关联分析模型对动态过程发展态势进行量化比较分析时克服了一般关联分析模型的不足,考虑了数据的波动对关联度的影响,提高了模型的分辨率,因此其较一般关联分析模型更具有合理性.

参考文献:

- [1] Deng Ju-long. The Control Problems of Grey Systems [J]. Systems & Control Letters, 1982(5):288-294.
- [2] 邓聚龙. 灰色系统(社会·经济)[M]. 北京:国防工业出版社, 1985.
- [3] 邓聚龙. 灰色系统与农业区划[J]. 农业资源与区划, 1984(4):1-12.
- [4] 邓聚龙. 棉蚜虫生物防治灰色模型, 大自然探索, 1984(3):44-49.
- [5] 杨建华, 高永东. 灰关联度在边坡稳定性分析中的应用[J]. 武汉化工学院学报, 1999, 21(2):49-51.
- [6] 邓聚龙. 灰色系统基本方法[M]. 武汉:华中理工大学出版社, 1987:17-28.
- [7] 邓聚龙. 灰理论基础[M]. 武汉:华中科技大学出版社, 2002:135-150.

Index-based grey relational analysis model

YANG Jian-hua

(School of Science, Wuhan Institute of Technology, Hubei Province Key Laboratory of Intelligent Robot, Wuhan Institute of Technology, Wuhan 430074, China)

Abstract: This paper presents the index-based grey relational coefficient and the index-based grey relational degree by improving the grey relational coefficient and the grey relational degree in the grey relational analysis, and the characteristics are discussed also. Moreover, the index-based grey relational analysis model, which is more rational and scientific, is established.

Key words: grey relational coefficient; grey relational degree; index-based grey relational coefficient; index-based grey relational degree

本文编辑: 龚晓宁



(上接第 107 页)

Symmetry analysis on the magnetic fields of carrying current long straight solenoid and endless solenoid

YU Shi-cheng, ZHOU Jin-hua

(School of Science, Wuhan Institute of Technology, Wuhan 430074, China)

Abstract: Based on the symmetry of currents, the paper selects the two symmetrical circular currents, and selects a current element in each circular current, the results that the magnetic field direction of the carrying current long straight solenoid is parallel to the solenoid axis. The magnetic field direction of the carrying current endless solenoid over the field point along the tangent direction of the coaxial circle are proved by using the Biot-Savart law and superposition principle of magnetic field.

Key words: long straight solenoid; endless solenoid; magnetic field direction; symmetry

本文编辑:龚晓宁